

se lignende filer: <http://farbe.li.tu-berlin.de/MN98/MN98L0NA.TXT/.PS>; start output
<http://farbe.li.tu-berlin.de/MN98/MN98L0NA.TXT/.PS>; start output
 N: ingen 3D-linearisering (OL) i fil (F) eller PS-startup (S), side 1/2



v L o Y M C
<http://farbe.li.tu-berlin.de/MN98/MN98L0NA.TXT/.PS>; start output
 N: ingen 3D-linearisering (OL) i fil (F) eller PS-startup (S), side 1/2

farge-egenskaper til den lavere og høyere fargemetrikk

lavere farge- eller valensmetrikk

hvitverdi W

sortverdi N

kulørverdi C

type fargeblanding

dikromatisk

(for $Y_- \geq B_-$)

B_-

$100 - Y_-$

$Y_- - B_-$

(for $R_- \geq G_- \geq B_-$)

B_-

$100 - R_-$

$R_- - B_-$

(for $R^*_+ \geq G^*_+ \geq B^*_+$)

B^*_+

$100 - R^*_+$

$R^*_+ - B^*_+$

(for $R^*_+ \geq G^*_+ \geq B^*_+$)

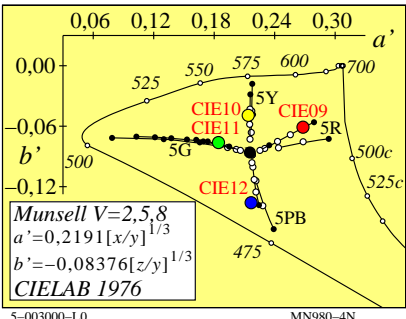
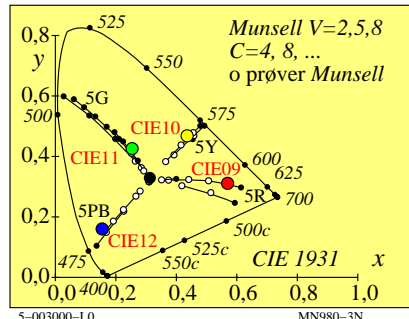
B^*_+

$100 - R^*_+$

$R^*_+ - B^*_+$

5-003000-L0

MN980-1N



lavere fargemetrikk (fargedata: lineær relasjon til CIE 1931 data)

lineære fargebetegnelser

navn og sammenheng med CIE tristimulus- eller kromatisitetsverdier

merknader

tristimulus-verdier

X, Y, Z

kulørverdi

lineært kulørverdi diagram (A, B)

$n=D65$

(omfelt)

rød-grønn

$A = [X/Y - X_n/Y_n] Y = [a - a_n] Y$

$= [x/y - x_n/y_n] Y$

gul-blå

$B = -0,4 [Z/Y - Z_n/Y_n] Y = [b - b_n] Y$

$= -0,4 [z/y - z_n/y_n] Y$

radiell

$C_{AB} = [A^2 + B^2]^{1/2}$

kromatisitet

lineært kromatisitsdiagram (a, b)

sammenlign med linéær tappe-eksitasjon

rød-grønn

$a = X/Y = x/y$

gul-blå

$b = -0,4 [Z/Y] = -0,4 [z/y]$

radiell

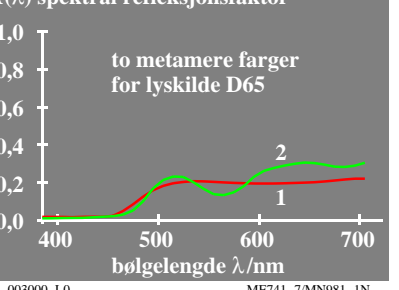
$c_{ab} = [(a - a_n)^2 + (b - b_n)^2]^{1/2}$

5-003000-L0

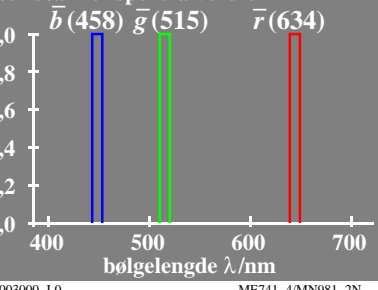
MN980-7N

TUB-testplansje MN98; Computergrafikk og fargemetrikk
 Bildeserie MN98, 3D=0, de=0

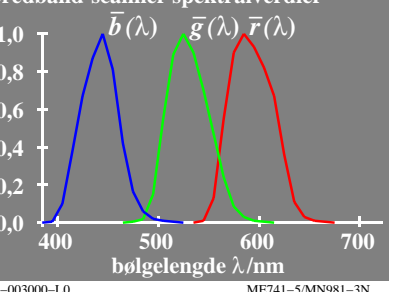
$R(\lambda)$ spektral refleksjonsfaktor



laser-scanner spektralverdier



breddbånd-scanner spektralverdier



Fargegjengivelses-indeks R_i av de to metamere BAM-scanner prøvefarger

scanner	TC farge gjengi-fargedif-velses indeks feraanse	3
bredbånd	1 82	
	2 84	
laser	1 63	10
	2 69	
ideell	1 100	0
	2 100	

D65, fargejustering med hvitt papir

5-003000-L0 ME741-8/MN981-4N

høyere fargemetrikk (fargedata: ikke-lineær relasjon til CIE 1931 data)

ikke-lineære størrelser

navn og sammenheng med tristimulus- eller kromatisitetsverdier

merknader

lyshet

$L^* = 116 (Y/100)^{1/3} - 16 (Y > 0,8)$

tilnærming: $L^* = 100 (Y/100)^{1/2,4} (Y > 0)$

CIELAB 1976

kulørhet

ikke-lineær transformasjon av kulørverdier A, B

$a^* = 500 [(X/X_n)^{1/3} - (Y/Y_n)^{1/3}]$

$= 500 (a' - a'_n) Y^{1/3}$

$b^* = 200 [(Y/Y_n)^{1/3} - (Z/Z_n)^{1/3}]$

$= 500 (b' - b'_n) Y^{1/3}$

$C_{ab}^* = [(a^*)^2 + (b^*)^2]^{1/2}$

CIELAB 1976

$n=D65$

(omfelt)

kromatisitet

ikke-lineær transformasjon av kromatisiter x/y, z/y

$a' = (1/X_n)^{1/3} (x/y)^{1/3}$

$= 0,2191 (x/y)^{1/3}$ for D65

$b' = -0,4 (1/Z_n)^{1/3} (z/y)^{1/3}$

$= -0,08376 (z/y)^{1/3}$ for D65

$C_{ab}' = [(a')^2 + (b')^2]^{1/2}$

sammenlign med log tappe-eksitasjon

$\log[L/(L+M)]$

$= \log[P/(P+D)]$

$\log[S/(S+M)]$

$= \log[T/(T+D)]$

5-003000-L0

MN981-7N

input: $rgb/cmyk \rightarrow rgb/cmyk$
 output: ingen endring



se lignende filer: <http://farbe.li.tu-berlin.de/MN98/MN98L0NA.TXT /PS>
<http://farbe.li.tu-berlin.de/MN98L0NA.TXT /PS>

farge-egenskaper til den lavere og høyere fargemetrikken

lavere farge- eller valensmetrikk

hvitverdi

W

sortverdi

N

kulørverdi

C

type fargeblanding

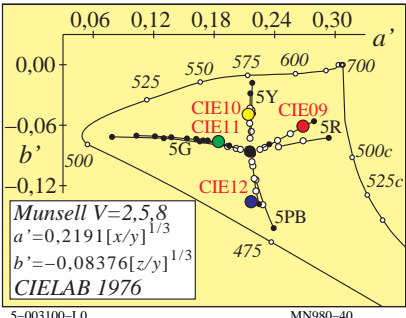
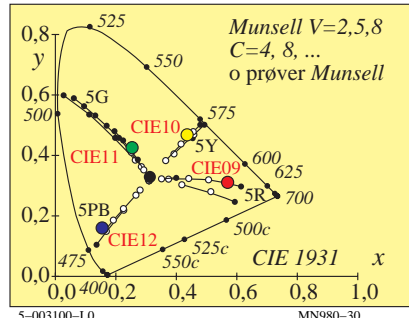
dikromatisk

trikromatisk

lavere farge- eller valensmetrikk	(for $Y_d \geq B_d$)	(for $R_d \geq G_d \geq B_d$)
hvitverdi	B_d	B_d
sortverdi	$100 - Y_d$	$100 - R_d$
kulørverdi	$Y_d - B_d$	$R_d - B_d$
høyere farge- eller fornemmelsesmetrikk	(for $Y^*_d \geq B^*_d$)	(for $R^*_d \geq G^*_d \geq B^*_d$)
hvithet	B^*_d	B^*_d
sorhet	$100 - Y^*_d$	$100 - R^*_d$
kulørhet	$Y^*_d - B^*_d$	$R^*_d - B^*_d$

5-003100-L0

MN98-10



lavere fargemetrikk (fargedata: lineær relasjon til CIE 1931 data)

lineære fargebetegnelser

navn og sammenheng med CIE tristimulus- eller kromatisitetsverdier

merknader

tristimulus-verdier

X, Y, Z

kulørverdi

lineært kulørverdi diagram (A, B)

n=D65

$$A = [X/Y - X_n/Y_n] Y = [a - a_n] Y$$

$$= [x/y - x_n/y_n] Y$$

(omfelt)

$$B = -0,4 [Z/Y - Z_n/Y_n] Y = [b - b_n] Y$$

$$= -0,4 [z/y - z_n/y_n] Y$$

$$C_{AB} = [A^2 + B^2]^{1/2}$$

kromatisitet

lineært kromatisitsdiagram (a, b)

sammenlign med linéær tappe-eksitasjon

$$a = X/Y = x/y$$

$$b = -0,4 [Z/Y] = -0,4 [z/y]$$

$$c_{ab} = [(a - a_n)^2 + (b - b_n)^2]^{1/2}$$

$$L/(L+M) = P/(P+D)$$

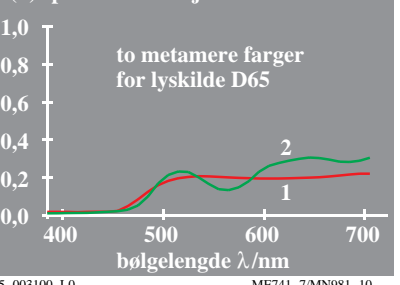
$$S/(L+M) = T/(P+D)$$

5-003100-L0

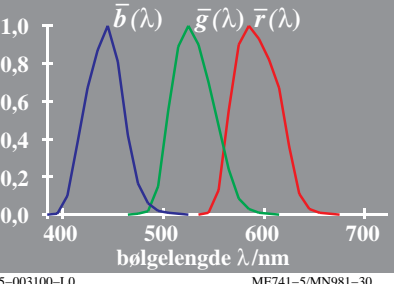
MN98-70

TUB-testplansje MN98; Computergrafikk og fargemetrikk
Bildeserie MN98, 3D=0, de=0, L-cmyn6

R(λ) spektral refleksjonsfaktor



breddbånd-scanner spektralverdier



høyere fargemetrikk (fargedata: ikke-lineær relasjon til CIE 1931 data)

ikke-lineære størrelser

navn og sammenheng med tristimulus- eller kromatisitetsverdier

merknader

lyshet

$$L^* = 116 (Y/100)^{1/3} - 16 (Y > 0,8)$$

tilnærming: $L^* = 100 (Y/100)^{1/2,4} (Y > 0)$

CIELAB 1976

kulørhet

$$a^* = 500 [(X/X_n)^{1/3} - (Y/Y_n)^{1/3}]$$

$$= 500 (a' - a'_n) Y^{1/3}$$

CIELAB 1976

radiell

$$b^* = 200 [(Y/Y_n)^{1/3} - (Z/Z_n)^{1/3}]$$

$$= 500 (b' - b'_n) Y^{1/3}$$

n=D65

C_{ab}

$$C_{ab}^* = [a^{*2} + b^{*2}]^{1/2}$$

(omfelt)

kromatisitet

$$a' = (1/X_n)^{1/3} (x/y)^{1/3}$$

$$= 0,2191 (x/y)^{1/3} \text{ for D65}$$

log[L / (L+M)]

gul-blå

$$b' = -0,4 (1/Z_n)^{1/3} (z/y)^{1/3}$$

$$= -0,08376 (z/y)^{1/3} \text{ for D65}$$

= log[P / (P+D)]

radiell

$$c'_{ab} = [(a' - a'_n)^2 + (b' - b'_n)^2]^{1/2}$$

= log[S / (L+M)]

radiell

$$c'_{ab} = [(a' - a'_n)^2 + (b' - b'_n)^2]^{1/2}$$

= log[T / (P+D)]

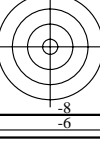
5-003100-L0 MN98-70

PE4300L_120830.TXT, 1080 colors, Separation cmyn6*

input: $rgb/cmky \rightarrow rgbd$

output: overføring til $rgbd$

se lignende filer: <http://farbe.li.tu-berlin.de/MN98/MN98L0NA.TXT/.PS>; start output
<http://130.149.60.45/~farbmatrik> eller <http://farbe.li.tu-berlin.de/MN98/MN98.HTML>



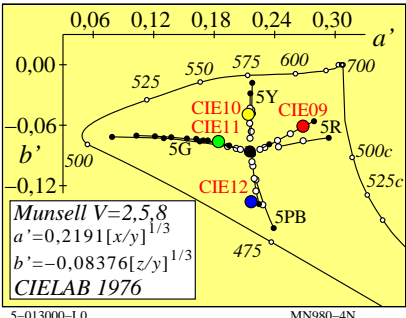
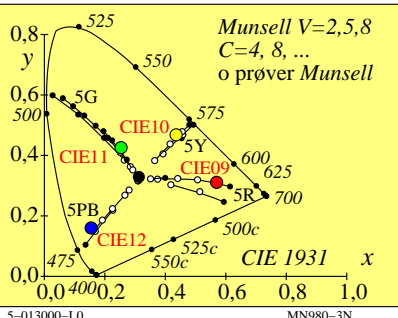
-8
-6

v L o Y M C
 http://farbe.li.tu-berlin.de/MN98/MN98L0NA.TXT/.PS; start output
 N: ingen 3D-linearisering (OL) i fil (F) eller PS-startup (S), side 1/2

farge-egenskaper til den lavere og høyere fargemetrikkene	type fargeblanding	dikromatisk	trikromatisk
lavere farge- eller valensmetrikk			
hvitverdi	W	(for $Y_- \geq B_-$)	(for $R_- \geq G_- \geq B_-$)
sortverdi	N	B_-	B_-
kulørverdi	C	$100 - Y_-$	$100 - R_-$
		$Y_- - B_-$	$R_- - B_-$
høyere farge- eller fornemmelsesmetrikk			
hvithet	W^*	(for $Y^*_- \geq B^*_-$)	(for $R^*_- \geq G^*_- \geq B^*_-$)
sorhet	N^*	B^*_-	B^*_-
kulørhet	C^*	$100 - Y^*_-$	$100 - R^*_-$
		$Y^*_- - B^*_-$	$R^*_- - B^*_-$

5-013000-L0

MN980-1N



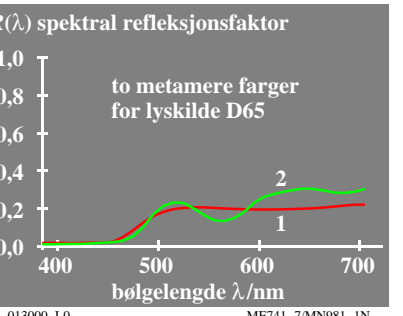
lavere fargemetrikk (fargedata: lineær relasjon til CIE 1931 data)

lineære fargebetegnelser	navn og sammenheng med CIE tristimulus- eller kromatisitetsverdier	merknader
tristimulus-verdier	X, Y, Z	
kulørverdi	lineært kulørverdi diagram (A, B)	$n=D65$
rød-grønn	$A = [X / Y - X_n / Y_n] Y = [a - a_n] Y$ $= [x / y - x_n / y_n] Y$	(omfelt)
gul-blå	$B = -0,4 [Z / Y - Z_n / Y_n] Y = [b - b_n] Y$ $= -0,4 [z / y - z_n / y_n] Y$	
radiell	$C_{AB} = [A^2 + B^2]^{1/2}$	
kromatisitet	lineært kromatisitetsdiagram (a, b)	sammenlign med lineær tappe-eksitasjon
rød-grønn	$a = X / Y = x / y$	
gul-blå	$b = -0,4 [Z / Y] = -0,4 [z / y]$	$L/(L+M)=P/(P+D)$
radiell	$c_{ab} = [(a - a_n)^2 + (b - b_n)^2]^{1/2}$	$S/(L+M)=T/(P+D)$

5-013000-L0

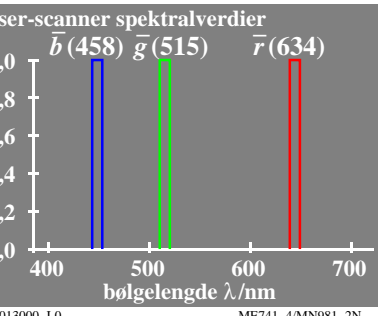
MN980-7N

TUB-testplansje MN98; Computergrafikk og fargemetrikk
 Bildeserie MN98, 3D=0, de=1



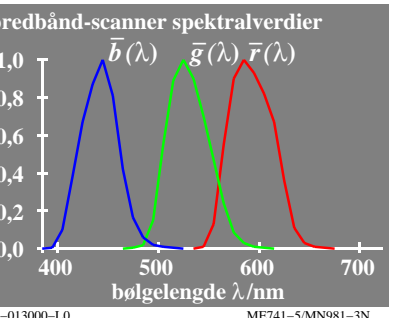
5-013000-L0

ME741-7/MN981-1N



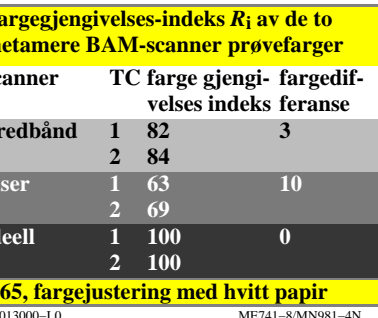
5-013000-L0

ME741-4/MN981-2N



5-013000-L0

ME741-5/MN981-3N



5-013000-L0

ME741-8/MN981-4N

ikke-lineære størrelser	navn og sammenheng med tristimulus- eller kromatisitetsverdier	merknader
lyshet	$L^* = 116 (Y / 100)^{1/3} - 16 (Y > 0,8)$ tilnærming: $L^* = 100 (Y / 100)^{1/2,4} (Y > 0)$	CIELAB 1976
kulørhet	ikke-lineær transformasjon av kulørverdier A, B	
rød-grønn	$a^* = 500 [(X / X_n)^{1/3} - (Y / Y_n)^{1/3}]$ $= 500 (a' - a'_n) Y^{1/3}$	CIELAB 1976
gul-blå	$b^* = 200 [(Y / Y_n)^{1/3} - (Z / Z_n)^{1/3}]$ $= 500 (b' - b'_n) Y^{1/3}$	CIELAB 1976
radiell	$C_{ab}^* = [a'^2 + b'^2]^{1/2}$	$n=D65$ (omfelt)
kromatisitet	ikke-lineær transformasjon av kromatisiteter $x/y, z/y$	sammenlign med log tappe-eksitasjon
rød-grønn	$a' = (1 / X_n)^{1/3} (x / y)^{1/3}$ $= 0,2191 (x / y)^{1/3}$ for D65	$\log[L / (L+M)]$
gul-blå	$b' = -0,4 (1 / Z_n)^{1/3} (z / y)^{1/3}$ $= -0,08376 (z / y)^{1/3}$ for D65	$= \log[P / (P+D)]$ $\log[S / (L+M)]$ $= \log[T / (P+D)]$
radiell	$c'_{ab} = [(a' - a'_n)^2 + (b' - b'_n)^2]^{1/2}$	

5-013000-L0

ME741-7N

input: $rgb/cmyk \rightarrow rgb/cmyk$
 output: ingen endring



se lignende filer: <http://farbe.li.tu-berlin.de/MN98/MN98L0NA.TXT /PS>

<http://farbe.li.tu-berlin.de/MN98/MN98HTM>

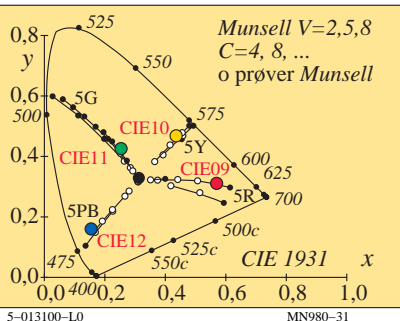
<http://farbe.li.tu-berlin.de>

v L o Y M C
http://farbe.li.tu-berlin.de/MN98/MN98L0NA.TXT /PS; overføringsoutput
N: ingen 3D-linearisering (OL) i fil (F) eller PS-startup (S), side 2/2

farge-egenskaper til den lavere og høyere fargemetrikkene	type fargeblanding	dikromatisk	trikromatisk
<i>lavere farge- eller valensmetrikk</i>			
hvitverdi	W	(for $Y_e \geq B_c$) B_e	(for $R_e \geq G_e \geq B_e$) B_e
sortverdi	N	$100 - Y_e$	$100 - R_e$
kulørverdi	C	$Y_e - B_e$	$R_e - B_e$
<i>høyere farge- eller fornemmelsesmetrikk</i>			
hvithet	W^*	(for $Y_e^* \geq B_e^*$) B_e^*	(for $R_e^* \geq G_e^* \geq B_e^*$) B_e^*
sorhet	N^*	$100 - Y_e^*$	$100 - R_e^*$
kulørhet	C^*	$Y_e^* - B_e^*$	$R_e^* - B_e^*$

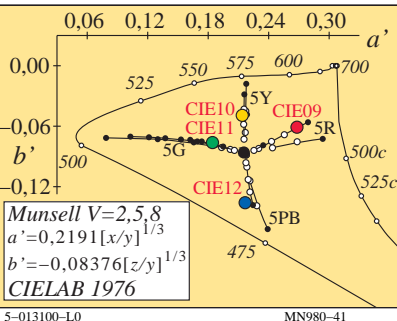
5-013100-L0

MN980-11



5-013100-L0

MN980-31



5-013100-L0

MN980-41

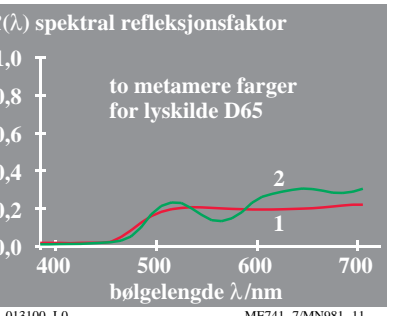
lavere fargemetrikk (fargedata: lineær relasjon til CIE 1931 data)

lineære fargebetegnelser	navn og sammenheng med CIE tristimulus- eller kromatisitetsverdier	merknader
tristimulus-verdier	X, Y, Z	
kulørverdi	lineært kulørverdi diagram (A, B) $A = [X/Y - X_n/Y_n] Y = [a - a_n] Y$ $= [x/y - x_n/y_n] Y$ $B = -0.4 [Z/Y - Z_n/Y_n] Y = [b - b_n] Y$ $= -0.4 [z/y - z_n/y_n] Y$ $C_{AB} = [A^2 + B^2]^{1/2}$	$n=D65$ (omfelt)
rød-grønn		
gul-blå		
radiell		
kromatisitet	lineært kromatisitetsdiagram (a, b) $a = X/Y = x/y$ $b = -0.4 [Z/Y] = -0.4 [z/y]$ $c_{ab} = [(a - a_n)^2 + (b - b_n)^2]^{1/2}$	sammenlign med lineær tappe-eksitasjon $L/(L+M)=P/(P+D)$ $S/(L+M)=T/(P+D)$
rød-grønn		
gul-blå		
radiell		

5-013100-L0

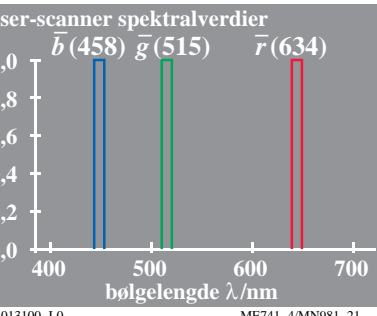
MN980-71

TUB-testplansje MN98; Computergrafikk og fargemetrikk
Bildeserie MN98, 3D=0, de=1, L-cmyn6



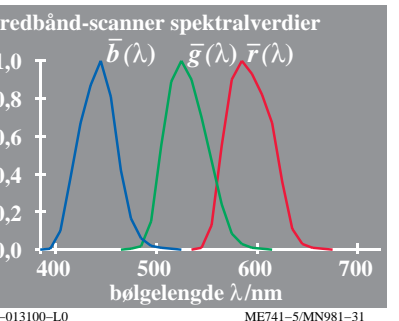
5-013100-L0

ME741-7/MN981-11



5-013100-L0

ME741-4/MN981-21



5-013100-L0

ME741-5/MN981-31

scanner	TC farge gjengi-fagedif-velses indeks fera	scanner
bredbånd	1 82	3
	2 84	
laser	1 63	10
	2 69	
ideell	1 100	0
	2 100	

D65, fargejustering med hvitt papir

5-013100-L0

ME741-8/MN981-41

høyere fargemetrikk (fargedata: ikke-lineær relasjon til CIE 1931 data)

ikke-lineære størrelser	navn og sammenheng med tristimulus- eller kromatisitetsverdier	merknader
lyshet	$L^* = 116 (Y/100)^{1/3} - 16 (Y > 0,8)$ tilnærming: $L^* = 100 (Y/100)^{1/2,4} (Y > 0)$	CIELAB 1976
kulørhet	ikke-lineær transformasjon av kulørverdier A, B $a^* = 500 [(X/X_n)^{1/3} - (Y/Y_n)^{1/3}]$ $= 500 (a - a_n) Y^{1/3}$ $b^* = 200 [(Y/Y_n)^{1/3} - (Z/Z_n)^{1/3}]$ $= 500 (b - b_n) Y^{1/3}$ $C_{ab}^* = [a^*^2 + b^*^2]^{1/2}$	CIELAB 1976
rød-grønn		
gul-blå		
radiell		
kromatisitet	ikke-lineær transformasjon av kromatisiteter $x/y, z/y$ $a' = (1/X_n)^{1/3} (x/y)^{1/3}$ $= 0,2191 (x/y)^{1/3} \text{ for D65}$ $b' = -0,4 (1/Z_n)^{1/3} (z/y)^{1/3}$ $= -0,08376 (z/y)^{1/3} \text{ for D65}$ $c'_{ab} = [(a' - a_n')^2 + (b' - b_n')^2]^{1/2}$	sammenlign med log tappe-eksitasjon $\log[L/(L+M)]$ $= \log[P/(P+D)]$ $\log[S/(S+M)]$ $= \log[T/(T+D)]$
rød-grønn		
gul-blå		
radiell		

5-013100-L0

ME741-7/MN981-71

MN981-71

PE4300L_120830.TXT, 1080 colors, Separation cmyn6*
input: $rgb/cmky \rightarrow rgbe$
output: overføring til $rgbe$

MN981-71

